

Figura 4.6 Intrusión acumulada de la relación de vacíos.

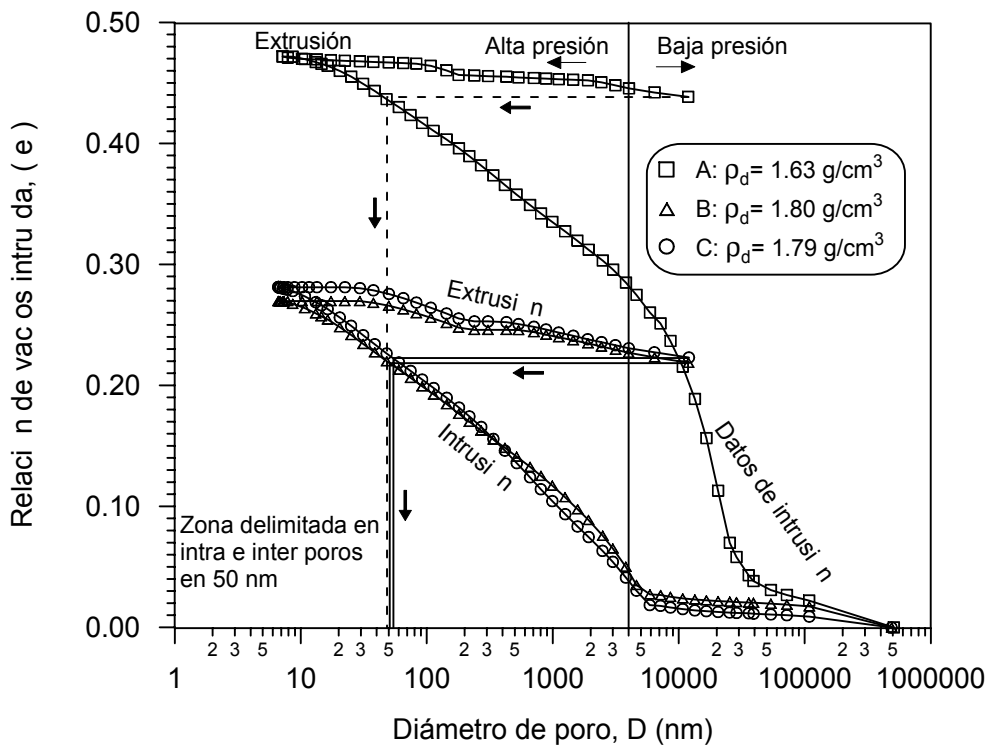


Figura 4.7 Distribución del tamaño de poros para diferentes condiciones.

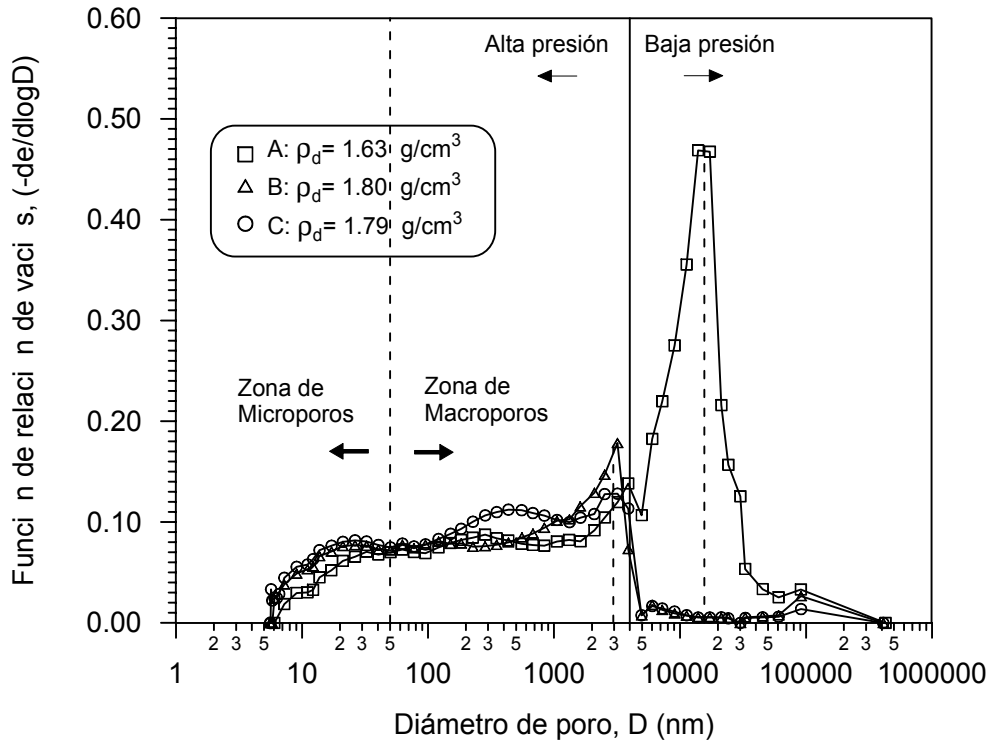


Figura 4.8 Distribución de tamaños de partículas del suelo para diferentes condiciones (MIP).

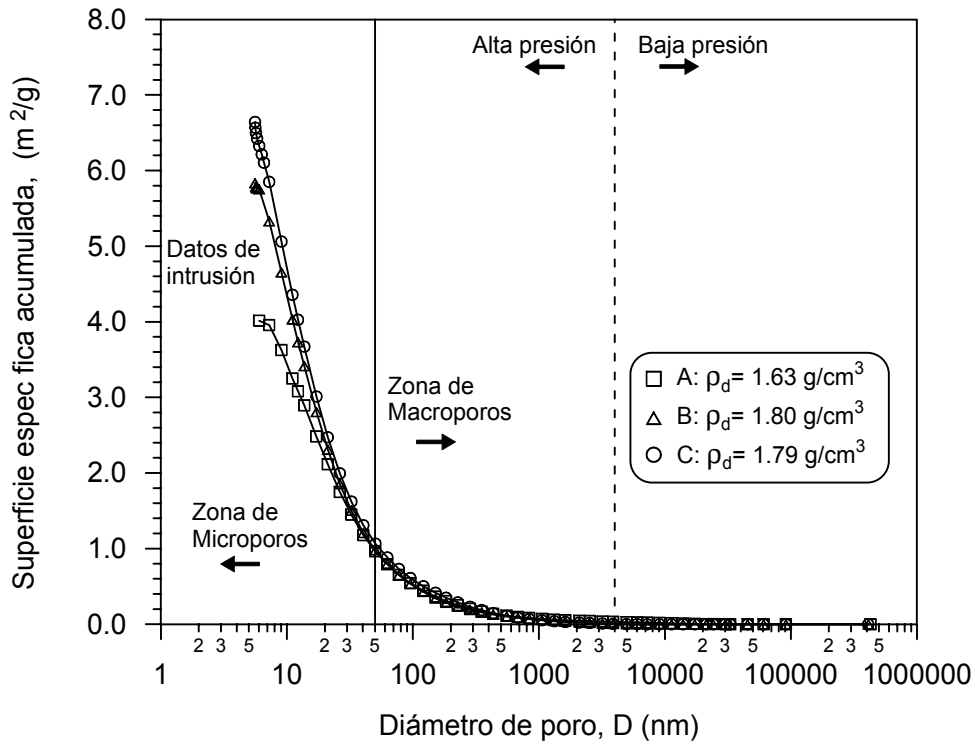


Figura 4.9 Superficie específica para diferentes condiciones usando la técnica MIP.

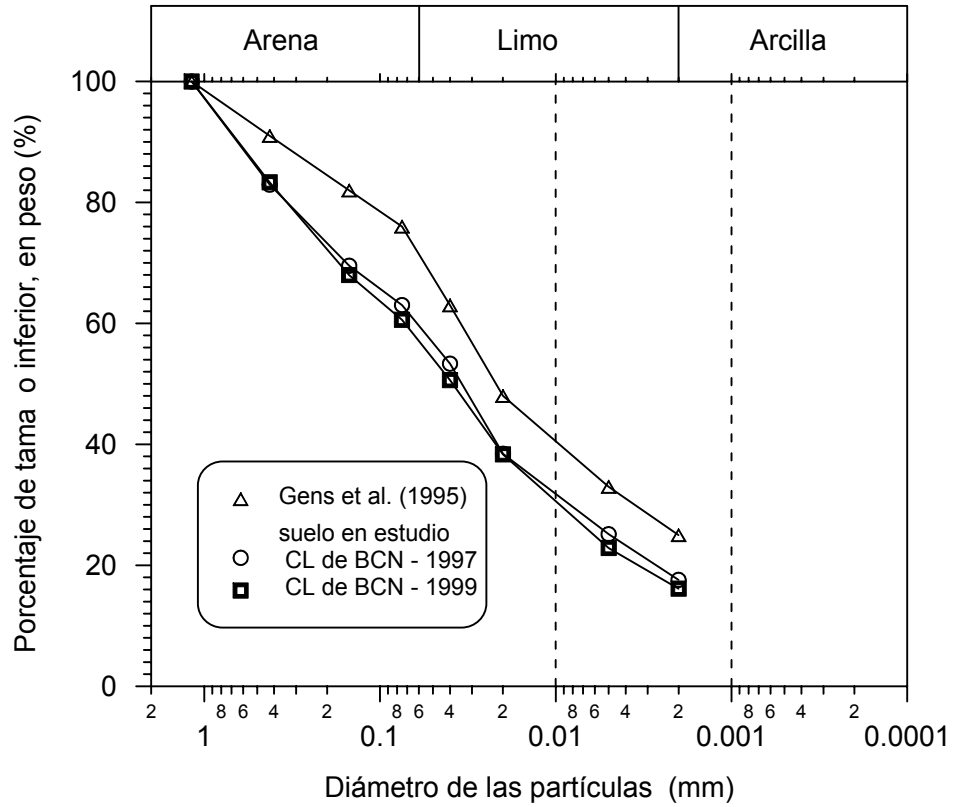


Figura 4.10 Curva granulométrica para el suelo en estudio (CL de Barcelona).

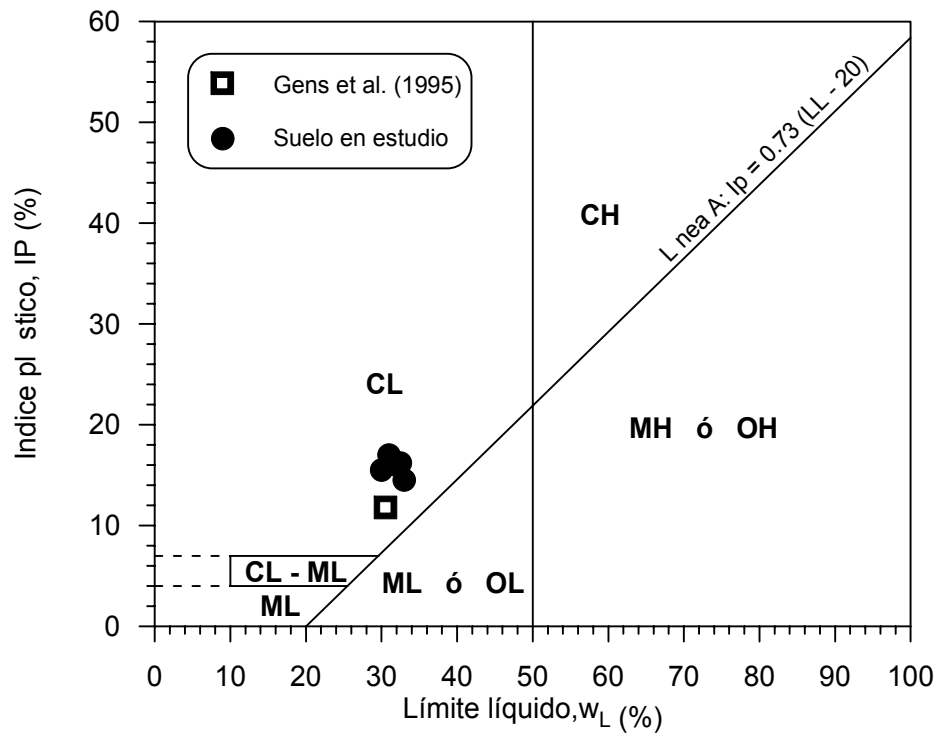


Figura 4.11 Carta de plasticidad.

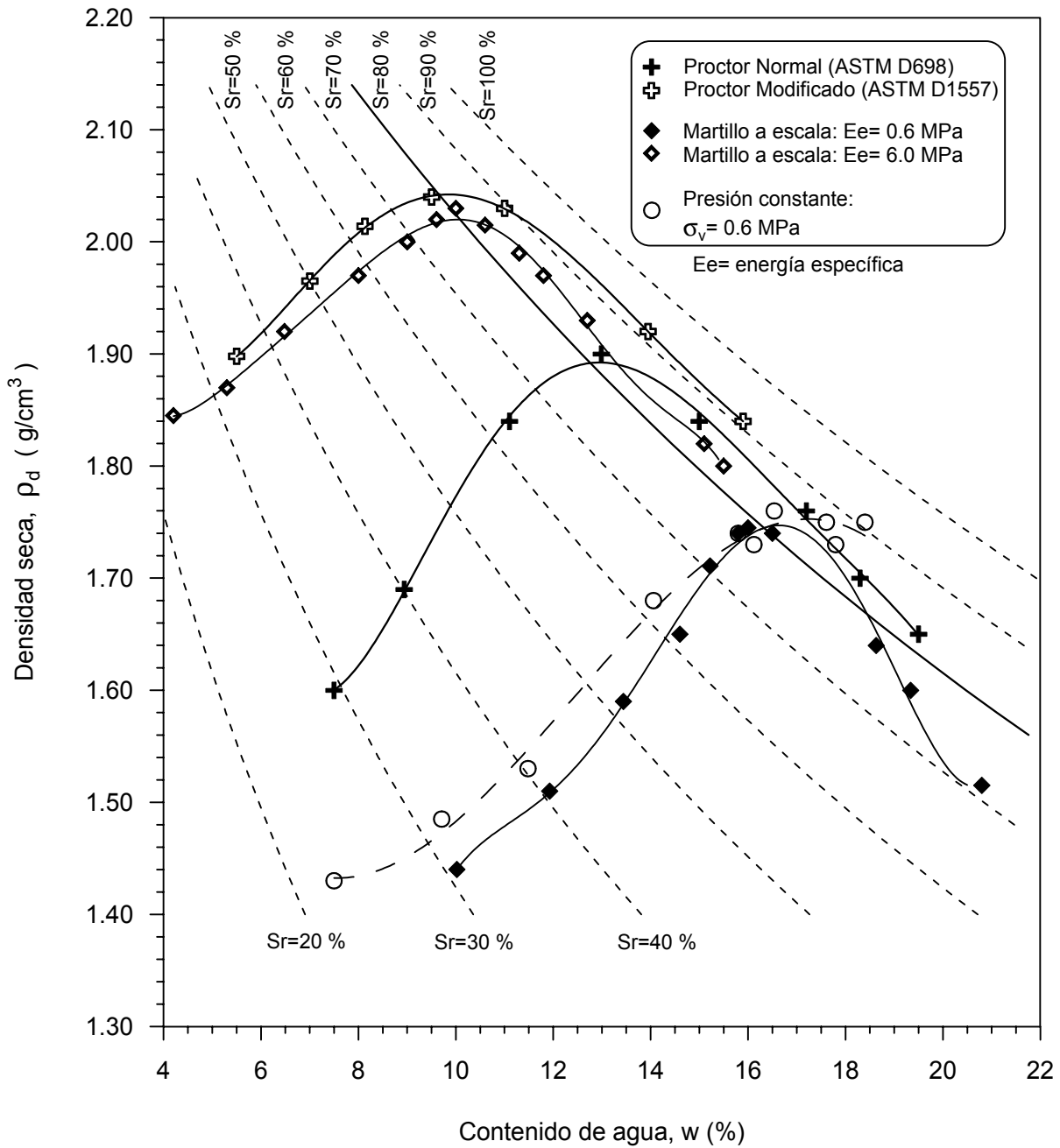


Figura 4.12 Curvas de compactación para diferentes niveles de energía específica.